

编码引论 第二次Project 个人报告

小组成员：马泽余 陈森睿 秦达飞

本部分撰写人：陈森睿

主要内容：信道编码参数设计、波形信道设计与仿真分析（含误码率曲线等）

编码引论 第二次Project 个人报告

整体概括

编码参数设计

任务

分析

波形信道

架构

实现

0.全局参数

1.成型滤波

2.AGWN信道

3.匹配滤波与采样

仿真

1.无卷积 传输过程仿真

2.有卷积 传输过程仿真

3.误比特率曲线仿真

4.典型误码图案

接口定义

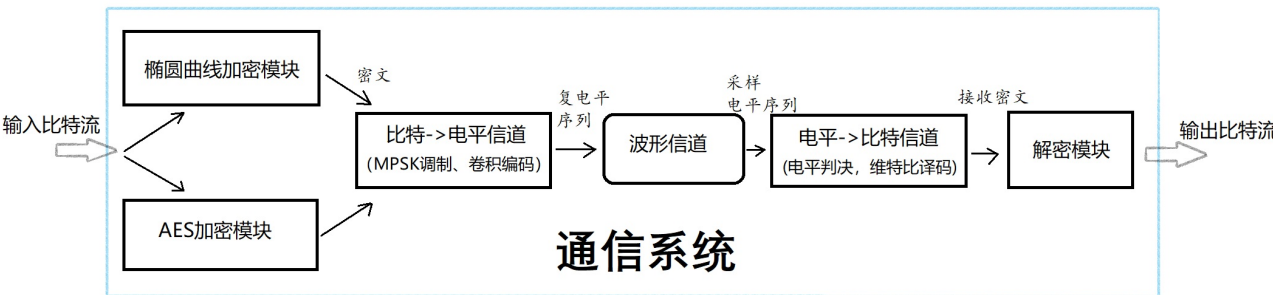
总结

附 文件清单

整体概括

本次实验中，我们完成了一个带通AGWN信道中的完整通信系统，支持安全编码和各种参数的卷积编码。我们对此通信系统做了完善的理论与仿真分析。

系统框图如下：



我们的主要工作包括以下内容：

工作	说明	负责人
椭圆曲线非对称加密	参照secp256k1的标准，实现了256bit质数的高精度运算椭圆曲线加密，将信息映射到椭圆曲线的点上进行加密，可随机生成小于基点阶数的足够多密钥。	马泽余
AES对称加密	基于AES标准实现了AES-128、AES-192、AES-256对称加密，并结合已有C代码进行了加速。	秦达飞
电平信道设计	基于第一次作业的电平信道进行修改，设计适合于波形信道的接口，负责完成电平调制解调、卷积码编译码等。	秦达飞
波形信道设计与仿真	设计AWGN波形信道，包括计算编码参数、编写信道函数、仿真获得信号波形、功率谱等。	陈森睿
系统联调	在无加密的情况下找到了最好的信道调制方式；给出了整体系统设计，完成了安全传输任务。	全员参与

本报告汇报我的工作，主要包括：信道编码参数设计、波形信道设计、无加密时的联调仿真等。

编码参数设计

任务

- 300 ~ 3400Hz带通信道，AGWN噪声
- 线性传输，收发端采用滚降系数 $\alpha = 0.5$ 根号升余弦滤波
- 待传数据大小1kB，要求5秒内完成传输
- 要求：设计编码参数（进制数、符号率、卷积码效率等）

分析

设定符号率 R_s ，调制比特数 M 。传输速率 $R_b = MR_s$ 应满足

$$R_b = MR_s \geq 1600 \text{ bits/sec} \tag{1.1}$$

可利用的带宽 $B = 3100\text{Hz}$ ，因此复基带成型滤波器对应的单边带宽应满足 $B_s \leq 1550\text{Hz}$ 。而成型滤波器为根号升余弦，带宽 $B_s = \frac{1+\alpha}{2} R_s$ ，因此

$$\frac{1+\alpha}{2} R_s \leq \frac{1}{2} B \tag{1.2}$$

得出 $R_s \leq 2066\text{Hz}$ ，据此可以设计 (M, R_s) 如下。我们的设计思路是：尽可能用尽5秒，以换取频带资源的节省。增大M可减小带宽占用，但可能增大误码率。

方案编号	M (bits/symbol)	R_s (Hz)	传输速率 R_b (bit/sec)	占用频段 (Hz)
(1)	1	1665.0	1665	[1017.5, 2682.5]
(2)	2	832.5	1665	[1433.8, 2266.3]
(3)	3	555.0	1665	[1572.5, 2127.5]

有卷积编码的情况：卷积编码可以降低通过程的误码率。设卷积编码效率为 R_c ，则(1.1)改为

$$R_b = R_c R_s M \geq 1600 \text{ bits} \tag{1.1}$$

其他要求不变。设计如下：

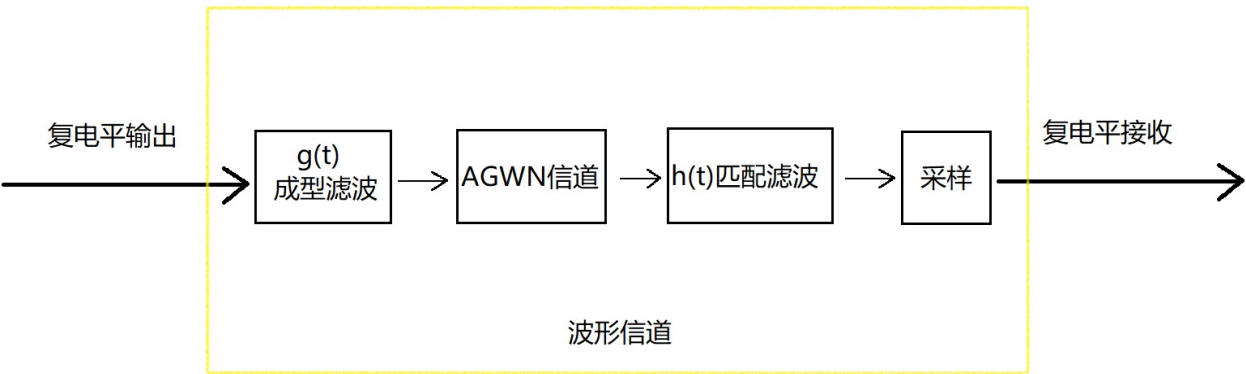
方案编号	M (bits/symbol)	R_s (Hz)	R_c	传输速率(bit/sec)	占用频段 (Hz)
(4)	2	1665.0	1/2	1665	[1433.8, 2266.3]
(5)	3	1665.0	1/3	1665	[1572.5, 2127.5]

波形信道

本部分讨论波形信道部份的设计、并仿真给出信号波形、功率谱、误码性能等

架构

波形信道的整体架构如下图



单独划分出波形信道，使得系统更加模块化，带来若干好处：一方面，上一次作业完成的电平信道可以很容易地与之联接（只需调整好输出电平大小）；另一方面，卷积码、安全编码模块与信道解耦，便于独立设计。

实现

0.全局参数

我选取采样率 $f_{real} = 33300Hz$ 来刻画波形。程序中，方便起见，将采样率归一化。

以 $[M = 1, R_s = 1665Hz, \text{无卷积}]$ 的参数为例：程序中 `RS=1/20`，载波中心频率 `fc=1/18`。

电平信道提供模值为1的复电平符号序列，并负责解调、译码采样得到的复电平序列。因此这两步不在此处讨论。

注：仿真中绝大多数操作在等效复基带进行。

1.成型滤波

为获得根号升余弦滤波器，先根据 R_s 得到根升的频谱，再用傅里叶逆变换回到时域。

```
Gc = 1.*(abs(f)<=Rs/4) + 0.5*(1+sin(2*pi/Rs*abs(f))).*(abs(f)>Rs/4 & abs(f)<=3*Rs/4); %  
升余弦频谱  
Gs = sqrt(Gc);%根升  
g = (IFT*Gs)';%逆变换到时域
```

其中 IFT 矩阵由 prefourier 函数获得。注意 prefourier 中的时域采样率必须为1（即 g 对应采样率为1）。

注：时频变换最好用 fft，可以避免采样率的麻烦，效率也更高。

利用 g 进行成型滤波。设电平信道给出复电平序列 a，则成型滤波后的复基带信号为

$$S_B(t) = \sum_n a_n g(t - nT_s)$$

其中 $T_s = \frac{1}{R_s}$ ，代码如下

```
s_num = length(a);  
wlen = (s_num-1)*Ts*fs+len;%sb数组长度  
for k = 1:s_num  
    sb = sb + [zeros(1,(k-1)*Ts),a(k)*g,zeros(1,wlen-(k-1)*Ts-len)]; %逐符号成型滤波  
end  
t = [1:wlen]; %对应时间
```

2.AGWN信道

AGWN信道部份的关键在于正确表达 E_b/n_0 。以下讨论假设 E_b , n_0 已分别给定。

对于有卷积码的情况，设卷积编码效率 R_c ，记编码比特能量 $E_{b,c}$ ，则

$$\frac{E_{b,c}}{n_0} = \frac{1}{R_c} \frac{E_b}{n_0}$$

因此，在波形信道部份，只需将给定的 E_b/n_0 换算成 $E_{b,c}/n_0$ ，就可等效为无信道编码的情况。接下来只讨论无卷积码的情况。

信号能量部分：

成型滤波后 E_{b_0} 的表达式如下

$$E_{b_0} = \frac{1}{M} \mathbb{E}(|a_n|^2) \int |g(t)|^2 dt$$

电平映射均采用 MPSK 且幅度设置为1，理论计算给出 $\int |g(t)|^2 dt = R_s$ ，因此 $E_{b_0} = \frac{R_s}{M}$ 。现在需要将其提升到给定的 E_b 值，只需对 sb 乘一个系数 $\sqrt{2ME_b/R_s}$ ，如下

```
Sb = sqrt(M*2*Eb/Rs)*Sb; %修正后的Eb/n0是我们需要的值
```

注意：由于在复基带，比特能量是 $2E_b$

噪声功率部分：

噪声功率无穷大，但在以采样率 f_s 仿真时，相当于提前做了一个 $\frac{f_s}{2}$ 低通滤波，最终加在采样点上的噪声功率为 $\frac{n_0 f_s}{2}$ 。复基带上则是实、虚部各加功率为 $n_0 f_s$ 的噪声。

```
I = real(Sb);
Q = imag(Sb);
S = I.*cos(2*pi*fc*t)-Q.*sin(2*pi*fc*t); %上变频，发送信号实带通波形
Qn = Q + randn(1,length(t))*n1;
In = I + randn(1,length(t))*n1;
Sn = In.*cos(2*pi*fc*t)-Qn.*sin(2*pi*fc*t); %加噪信号实带通波形
Sbn = In + j*Qn; %加噪信号复基带波形
```

3.匹配滤波与采样

```
normFactor = 1/sqrt(M*2*Eb*Ecur); %电平信道匹配因子
h = normFactor * g; %匹配滤波器
R = conv(Sbn,h,'same'); %滤波
sampTime = ([0:s_num-1]*Ts) + 10*Ts + 1;
a_re = R(sampTime); %采样
```

这里着重讨论 `normFactor`：这个因子的作用是，确保最终得到的电平模值期望为1，以便后续的电平信道正常完成译码。计算方式如下：无 `normFactor` 时，采样值的模值期望为

$$\begin{aligned} E_a &= A_0 (g * h)(t)|_{t=0} \\ &= A_0 (g * g)(t)|_{t=0} \\ &= A_0 \int (g(t))^2 dt \\ &= A_0 R_s \end{aligned}$$

其中 $A_0 = \sqrt{2ME_b/R_s}$ 是成型滤波时乘在 `g` 上的系数，综上有

$$E_a = \sqrt{2ME_b R_s}$$

将 `normFactor` 取为其倒数，即可把采样模值归一化为1。

仿真

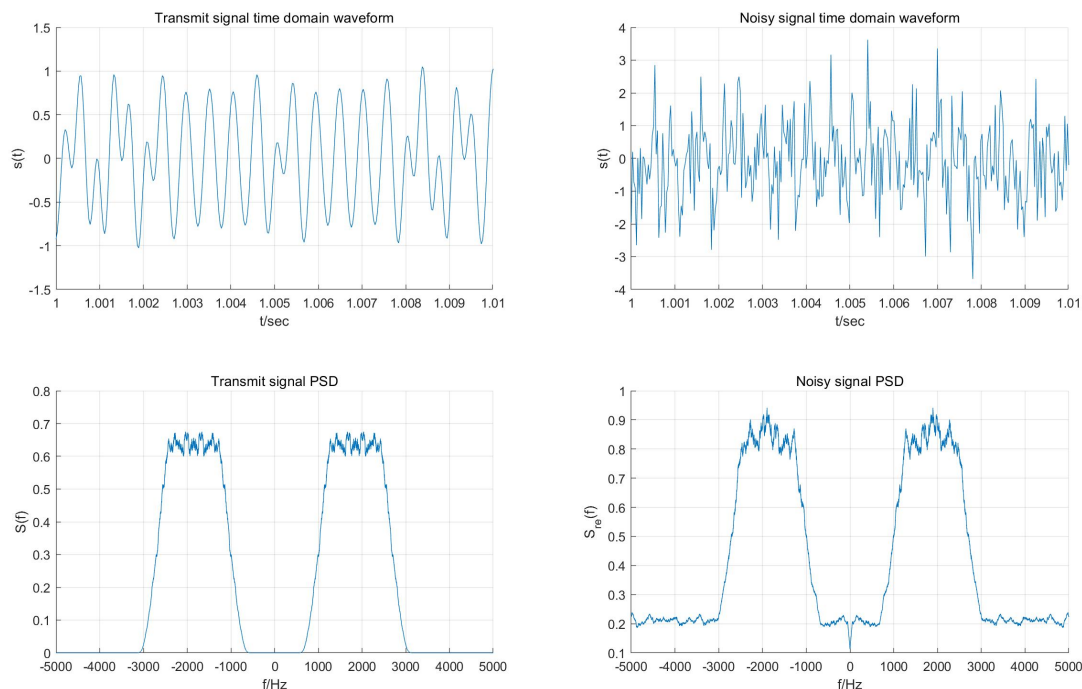
本部分对于前述传输任务，给出波形信道上的仿真结果。为了获得误比特率，仿真过程也用到了电平信道。

1.无卷积 传输过程仿真

待传输信息：8kB随机比特序列

参数选取： $M = 1 \text{ bit/symbol}$, $R_s = 1665 \text{ Hz}$, 无卷积编码, $E_b/n_0 = 8 \text{ dB}$, 取定 $E_b = 1$

发射信号与加噪信号（时域波形与功率谱）：



注：均用真实频率展示。其中时域仅展示10ms的波形，功率谱加了一定长度的矩形滑动窗。

分析

- 从时域看，噪声功率远远大于信号功率，信号似乎完全被淹没；从功率谱看，有效频段内的信号功率明显高于噪声功率，应有办法区分。
- 功率谱大致呈现出升余弦状，与设计相符

关于功率谱取值的进一步讨论：

采用 `fft` 计算功率谱，代码如下

```
Fs = conv(abs(fft(S)/(length(S))).^2,ones(1,500)/500,'same');
Fs = fftshift(Fs);
ff = ([-length(Fs)/2:length(Fs)/2-1]/length(Fs));
plot(ff*f_real,Fs*f_real); %绘图时，归一化频率转成实际频率
```

我们可以理论验证功率谱取值的正确性：

$$\int \mathbb{S}(f)df = P = E_s R_s = M E_b R_s$$

此仿真条件下，右式理论值为0.05。实际对功率谱积分（求和）得到几乎完全相同的结果：

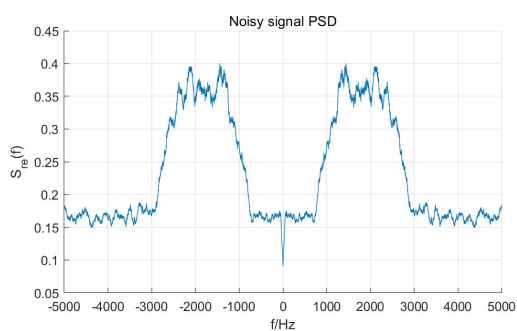
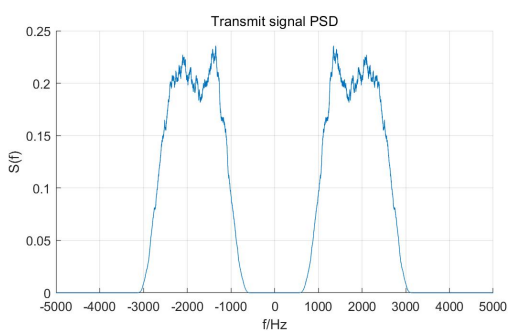
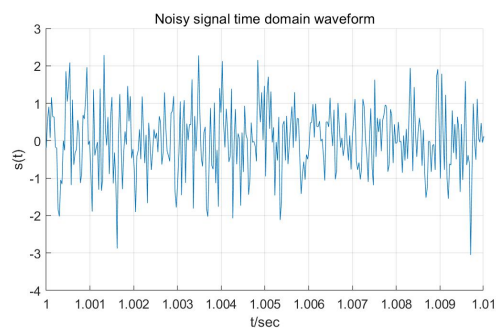
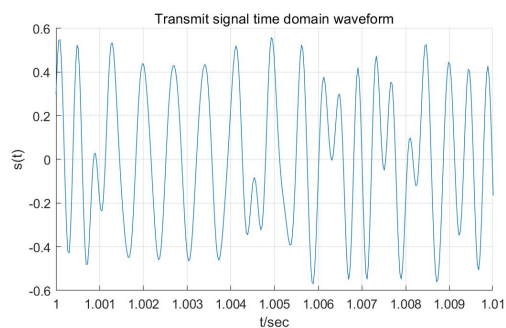
```
>> sum(Fs)
ans =
    0.0499
```

2.有卷积 传输过程仿真

待传输信息：8kB随机比特序列

参数选取： $M = 2 \text{ bit/symbol}$, $R_s = 1665 \text{ Hz}$, 卷积编码效率 $R_c = 1/2$, 硬判决, $E_b/n_0 = 8 \text{ dB}$, 取定 $E_b = 1$

发射信号与加噪信号（时域波形与功率谱）：

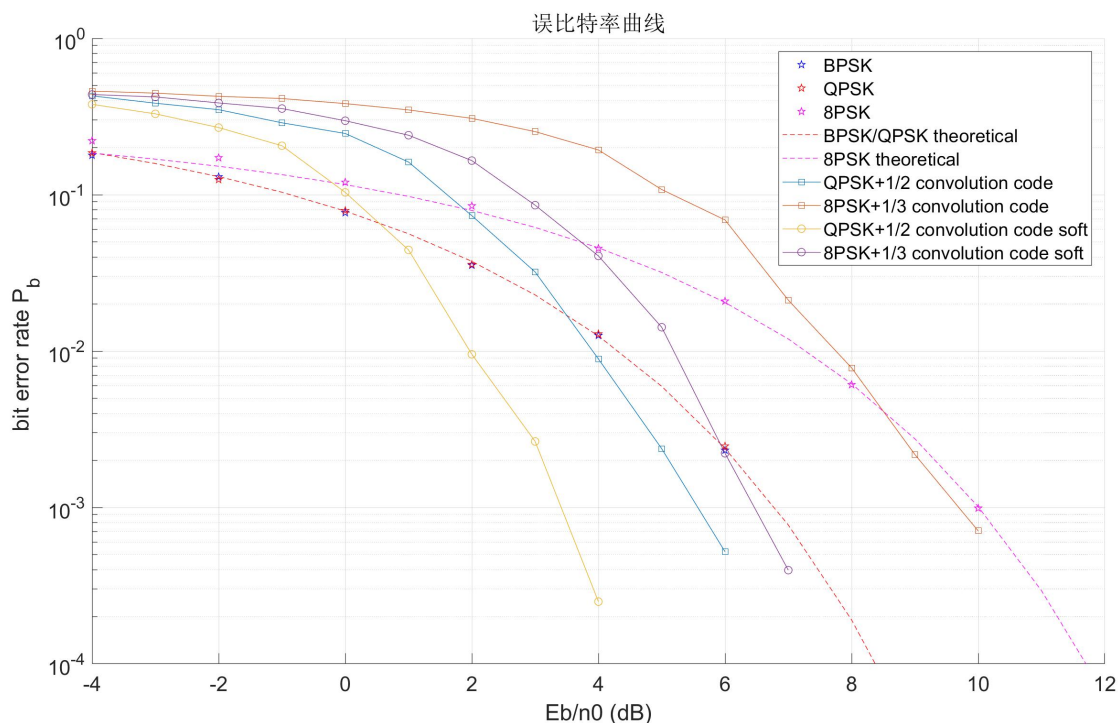


可见与无卷积码的情况没有什么不同。

3.误比特率曲线仿真

五种方案误比特率：

五角星代表的是无卷积码的方案(1)(2)(3)，调制效率 $M=1,2,3$ 分别对应BPSK, QPSK和8PSK；正方形代表的是有卷积码的两种方案(4)(5)；圆形代表卷积码采用软判决。



注: BPSK/QPSK误比特率理论值为 $Q\left(\sqrt{\frac{2E_b}{n_0}}\right)$; 8PSK误比特率理论值为 $\frac{2}{3}Q\left(\sqrt{\frac{E_b}{n_0}}3\left(1 - \frac{\sqrt{2}}{2}\right)\right)$, 均为高信噪比近似。

分析:

- 首先注意到: MPSK的仿真值与理论值吻合度较高, 这验证了传输系统的正确性。
- 无卷积码时, BPSK和QPSK误码性能一致 (因为BPSK只用了一路信号, 浪费了另一路的功率), 8PSK则造成更高的误码率;
- 加上卷积编码后, 低 E_b/n_0 时误比特率反而更高 (越纠越错), 高信噪比时误码率快速下降。
 $E_b/n_0 \geq 0.5\text{dB}$ 后, QPSK+1/2效率卷积已经是最优方案。
 - 和其他信道编码类似, 卷积码带来了一定的编码增益。尽管这个值不容易理论计算。
- 卷积编码软判决的性能明显优于硬判决, 方案(4)中软判决比硬判决节省2dB功率, 方案(5)中节省约3dB功率。

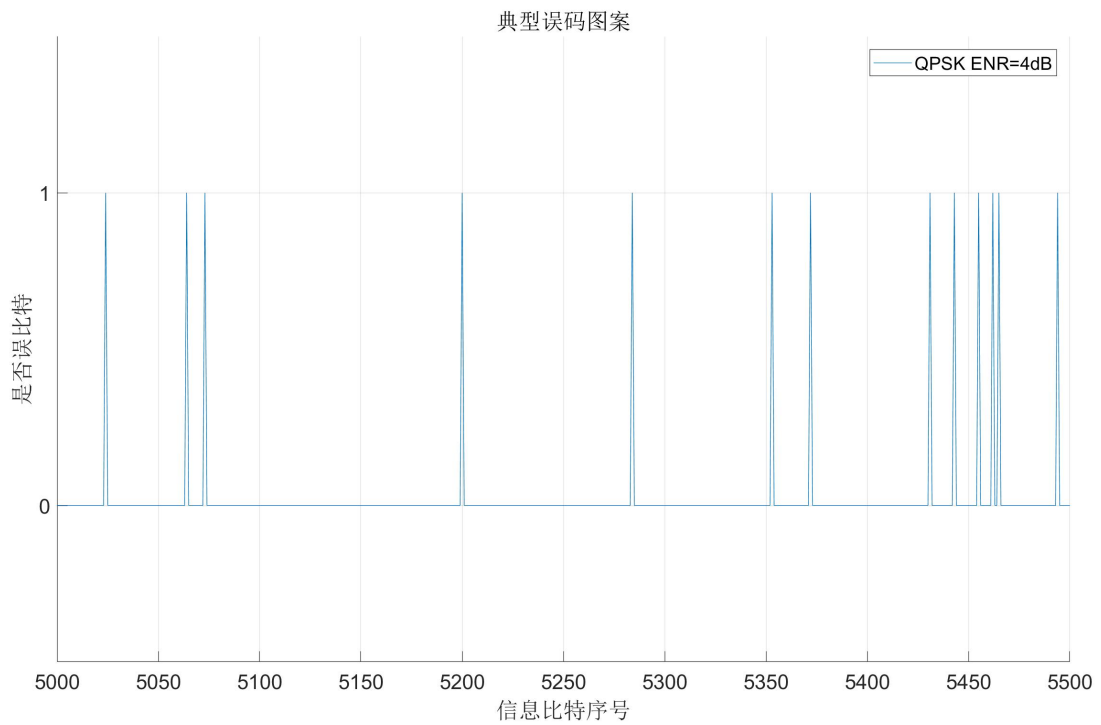
方案对比:

从误码率的角度看, $E_b/n_0 > 0.5\text{dB}$ 时最好使用方案(4)[QPSK+1/2卷积], $E_b/n_0 < 4\text{dB}$ 时采用方案(2)[QPSK]; 若想节约带宽, 可以选择方案(3), 或[8PSK+1/2卷积] (相应的符号率可以更小) 之类的方案。

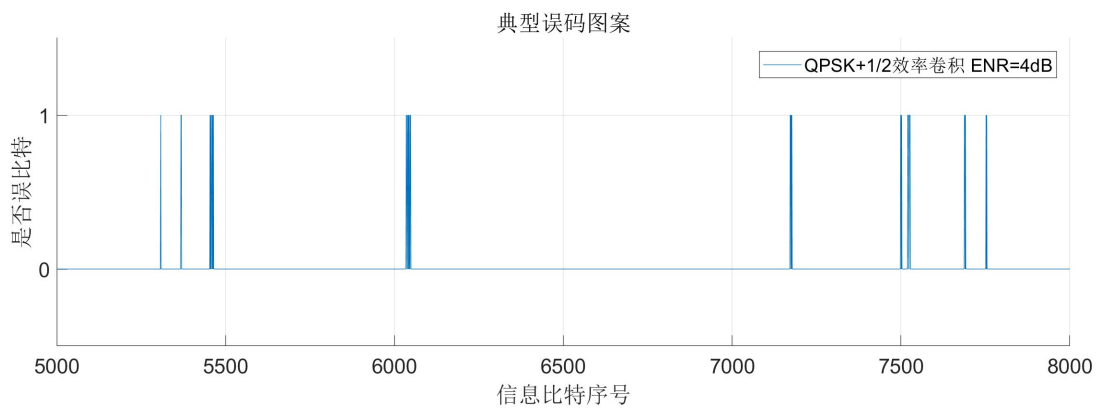
如果不在意解码复杂度, 卷积码最好一律采用软判决。

4.典型误码图案

方案(2) QPSK 无卷积 $E_b/n_0 = 4\text{dB}$:



方案(4) QPSK+1/2效率卷积 $E_b/n_0 = 4dB$:



分析：采用卷积码时，信道误码明显呈现突发性；不采用卷积码时，信道误码基本呈现随机性。（理论上QP）

接口定义

本节给出波形信道接口定义，完整实现见附件

```
function [out] = WaveChannel(sstream,M,m,ENR)
    %%%%%%%%%%%
    %parameter
    %sstream: input complex symbol stream
    %M : modeling bits per symbol (1=BPSK,2=4QAM,3=8PSK)
    %m : inversed coding rate of convolution code (m=1,2,3 => Rc=1,1/2,1/3)
    %ENR: Eb/n0(dB form). For noise-free case, omit this parameter or set as inf
    %output
    %out: received sampled complex symbol stream
    %%%%%%%%%%%
    %must use row vector
    %%%%%%%%%%%
```

总结

本次实验，我主要负责了波形信道部份的设计与仿真。这一部分内容主要涉及通信与网络课程知识，难点在于用离散样点刻画连续波形时，对符号能量、比特能量、噪声功率谱密度的表达。

我首先根据信道带宽和传输速率要求，设计了不同 (R_s, R_m, R_c) 的编码方案。之后完成了信道函数编写，并对通信系统展开联调，获得了不同方案的误比特率曲线，不同时刻的信号波形、功率谱，以及典型误码图案等。其中仿真值与理论推导结果成功对应。

本次实验，我有以下收获：

1.深入理解了如何用离散采样系统表述连续波形。其中重点包括用 `fft` 计算频谱、功率谱，相关代码如下：

```
Fsn = abs(fft(Sn)/(length(Sn))).^2; %功率谱psd
Fsn = fftshift(Fsn);
ff = ([-length(Fs)/2:length(Fs)/2-1]/length(Fs));
```

这样做的前提是采样率 `fs` 归一化。`fs` 归一化还有其他好处，例如离散的 `sum`，`conv` 直接对应积分、卷积的结果，不需要调整系数。

上面的例子中，还要注意功率谱的定义。我们在相关课程里讨论的主要是随机过程的功率谱，需对自相关函数做傅里叶变换。事实上，对确定信号的功率谱还有更直接的定义，就是其频谱的模平方。

2.理解了 E_b/n_0 的物理意义和仿真表达。 E_b/n_0 描述通信系统克服单位强度的噪声所付出的能量，是一个客观的指标，任何编码方式都可以用此指标对比纠错性能。仿真中，根据 E_b 和 (R_m, R_c) 计算出符号能量 E_s ，将每个符号成型滤波后波形能量的期望值调整到 E_s ，而 n_0 的表达，首先默认存在一个低通采样，之后直接按定义乘出噪声功率即可（细节前面已经讨论）。另外注意，等效复基带上的 $E_{b,B}$ ， $n_{0,B}$ 与实际值是有一定换算关系的，前面已经讨论。

3.对编码增益的理解：观察误比特率曲线，高信噪比时，卷积编码达到同样的误码率所需 E_b/n_0 优于无编码情况，这个优势就是编码增益的体现。采用简单的重复码是无法获得这种编码增益的。

4.进一步加强了采用Matlab仿真通信系统的能力。

由于本次实验中我着力解决信道相关问题，对安全编码部份参与较少。实际的密码实现是由马泽余（非对称椭圆曲线加密）与秦达飞（对称AES加密）完成的。本报告中设计的结果都不涉及加密、解密过程。我也参与了信道、安全编码联调，发现加上密码后误码率的性质有了变化。简单而言，由于加了密码，传输过程一旦出现很小的错误，接收端解出的明文可能有巨大差别，甚至可能解不出明文。因此，想要利用安全编码，信道质量必须足够好，或者需要用足够强的信道编码来保护密文。这部分仿真主要由秦达飞进行。

附 文件清单

我负责的主要文件：

`waveChannel.m`：波形信道的完整代码，其中包括波形、功率谱的计算与绘制。

`Simulation.m`：仿真误比特率的代码，同时是完整通信系统的示例代码。

第二次Project_整体报告.pdf：列出小组所有工作的整体架构，阐明分工。

第二次Project_陈森睿.pdf：我的个人报告，即此文件。

其他重要文件：

`genKey.m`：椭圆曲线加密算法，由马泽余实现。

`bits2syms.m`，`syms2bits.m`：电平信道，前者实现比特到复电平的调制，后者将接收到的复电平判决为比特。由秦达飞基于第一次作业实现。

`aesxxx.m` 等文件：AES加密算法，秦达飞实现。

其他文件大多来自第一次project。